

Sistemas y Señales I

Trabajo Práctico Nro. 2
Simulación Digital de Sistemas Dinámicos

Integración numérica de Ecuaciones Diferenciales Ordinarias (EDOs) usando Matlab

Problema de Valor Inicial

$$\begin{cases} y^{(n)} = f(t, y, y', y'', \dots, y^{(n-1)}) \\ y(0) = y_0, \quad y'(0) = y'_0, \quad \dots, \quad y^{(n-1)}(0) = y_0^{(n-1)} \end{cases} \quad \text{EDO}$$

Para implementar el sistema anterior en Matlab, se siguen los siguientes pasos:

1. Escribir la EDO de orden n como un conjunto de n ecuaciones diferenciales de primer orden. Definiendo, por ejemplo

$$\begin{cases} x_1 = y \\ x_2 = y' \\ \vdots \\ x_n = y^{(n-1)} \end{cases}$$

resulta el sistema (**Ecuaciones de Estado**)

$$\begin{cases} x'_1 = x_2 \\ x'_2 = x_3 \\ \vdots \\ x'_{n-1} = x_n \\ x'_n = f(t, x_1, x_2, \dots, x_n) \end{cases}$$

2. Crear un archivo tipo *function file* (que de ahora en adelante llamaremos *ODE-file*) donde se almacenará el sistema anterior

```
function dx=sistema(t,x)
dx=[x(2); x(3); ...; x(n); f(t,x(1),x(2),...,x(n))];
```

3. Para que Matlab resuelva el problema, una vez creado el ODE-file, se debe llamar a alguna rutina de integración numérica, utilizando la siguiente sintaxis:

```
[T,x]=solver('sistema',tspan,x0)
```

donde **solver** es alguna de las rutinas **ode45**, **ode23**, **ode113**, **ode15s**, u **ode23s**, y los argumentos de entrada son:

sistema nombre del ODE-file

tspan vector de la forma [**t0** **tfinal**] que hace que la rutina integre entre los tiempos **t0** y **tfinal**

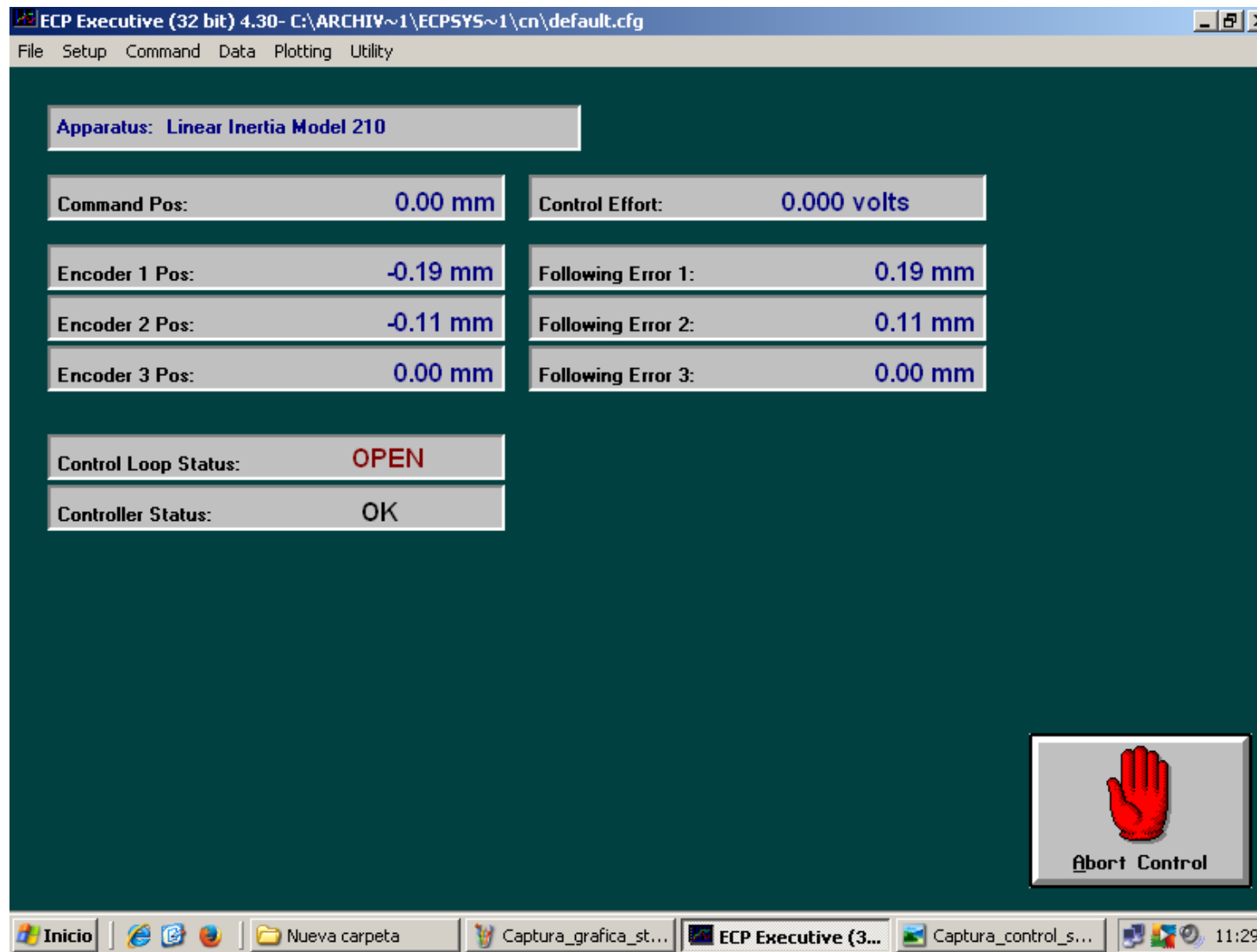
x0 vector columna con las condiciones iniciales en **t0**

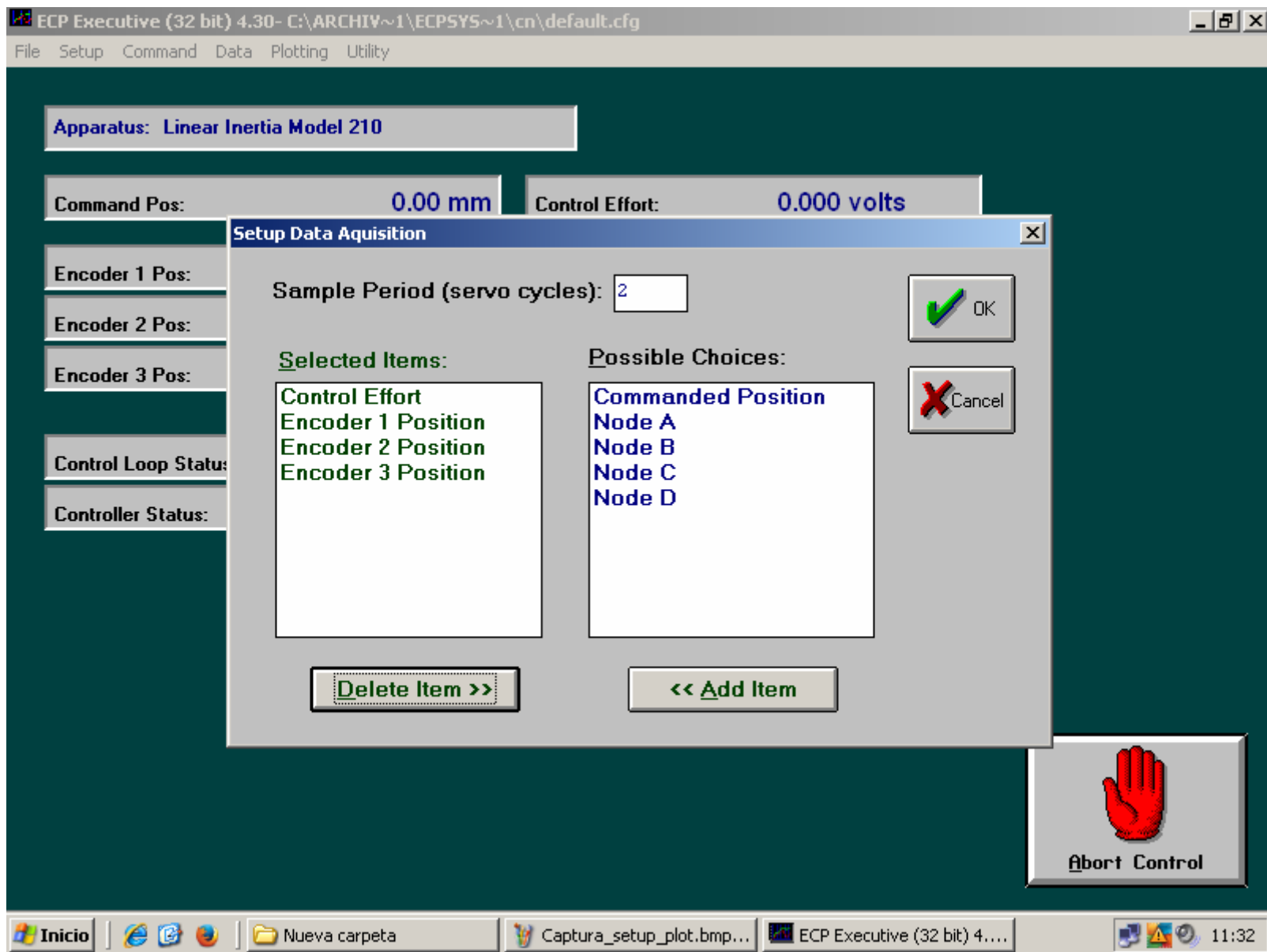
Problema 1: Sistema Mecánico Traslacional

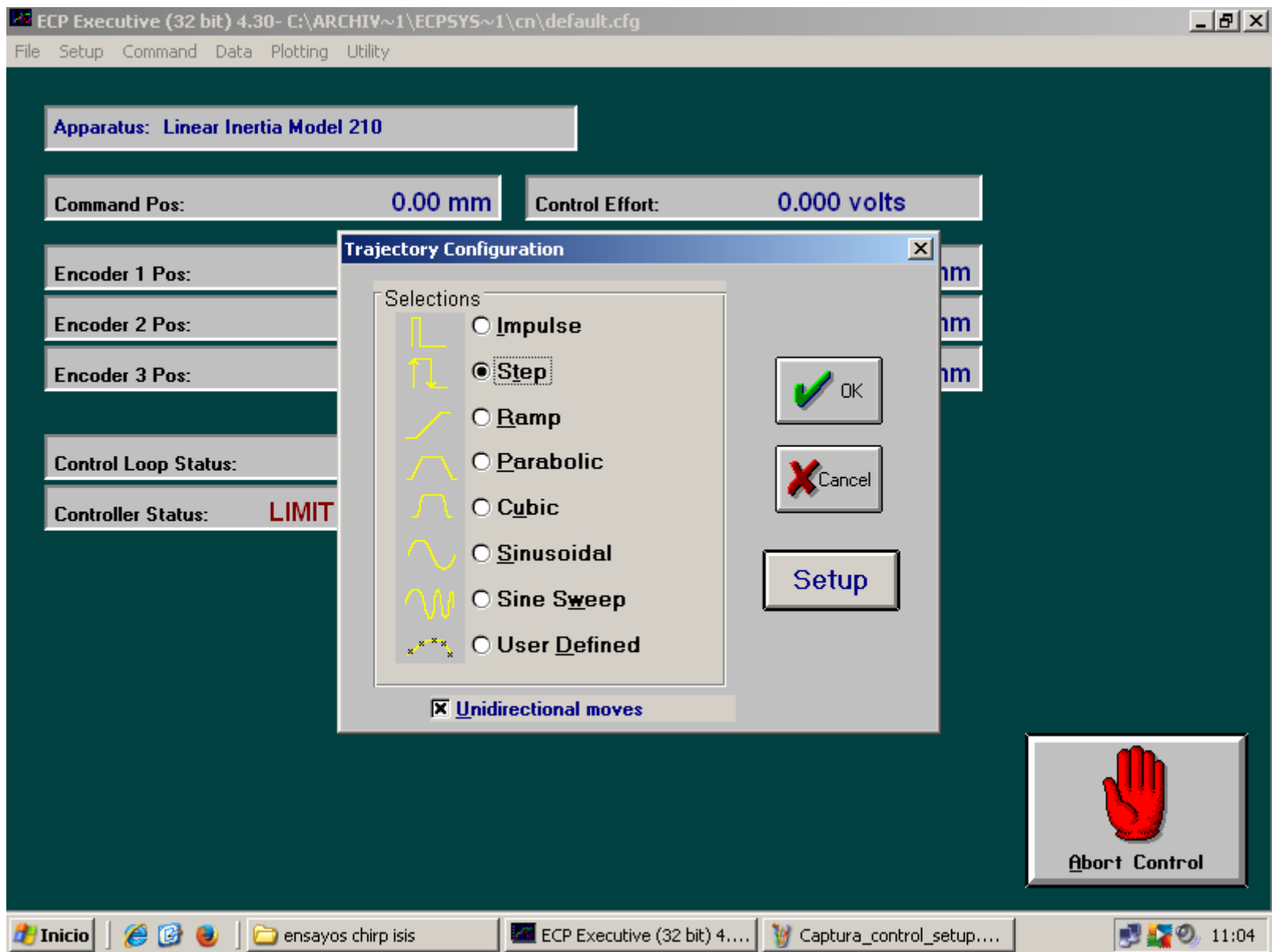


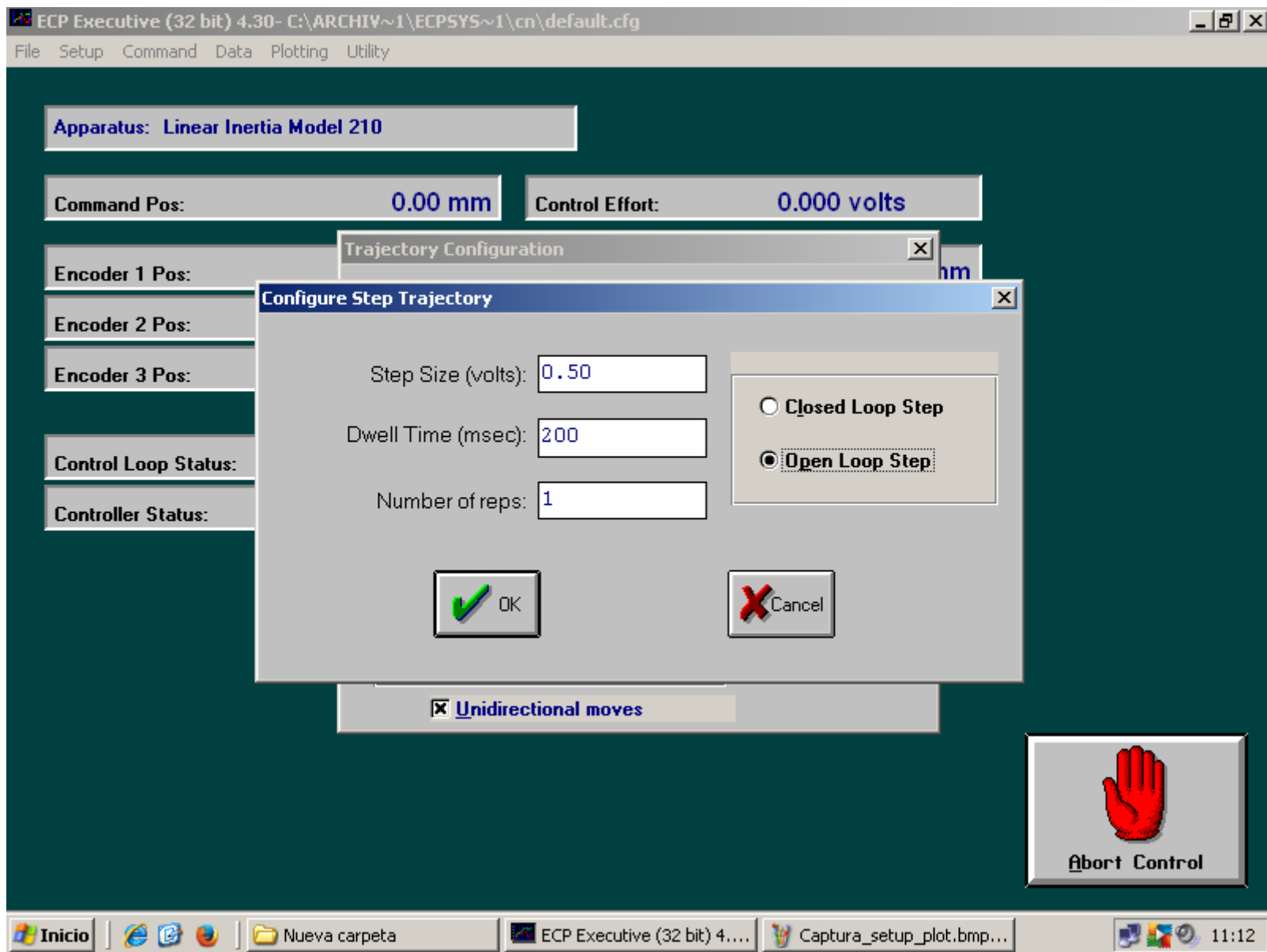
Sistema Mecánico Traslacional Modelo 210a ECP

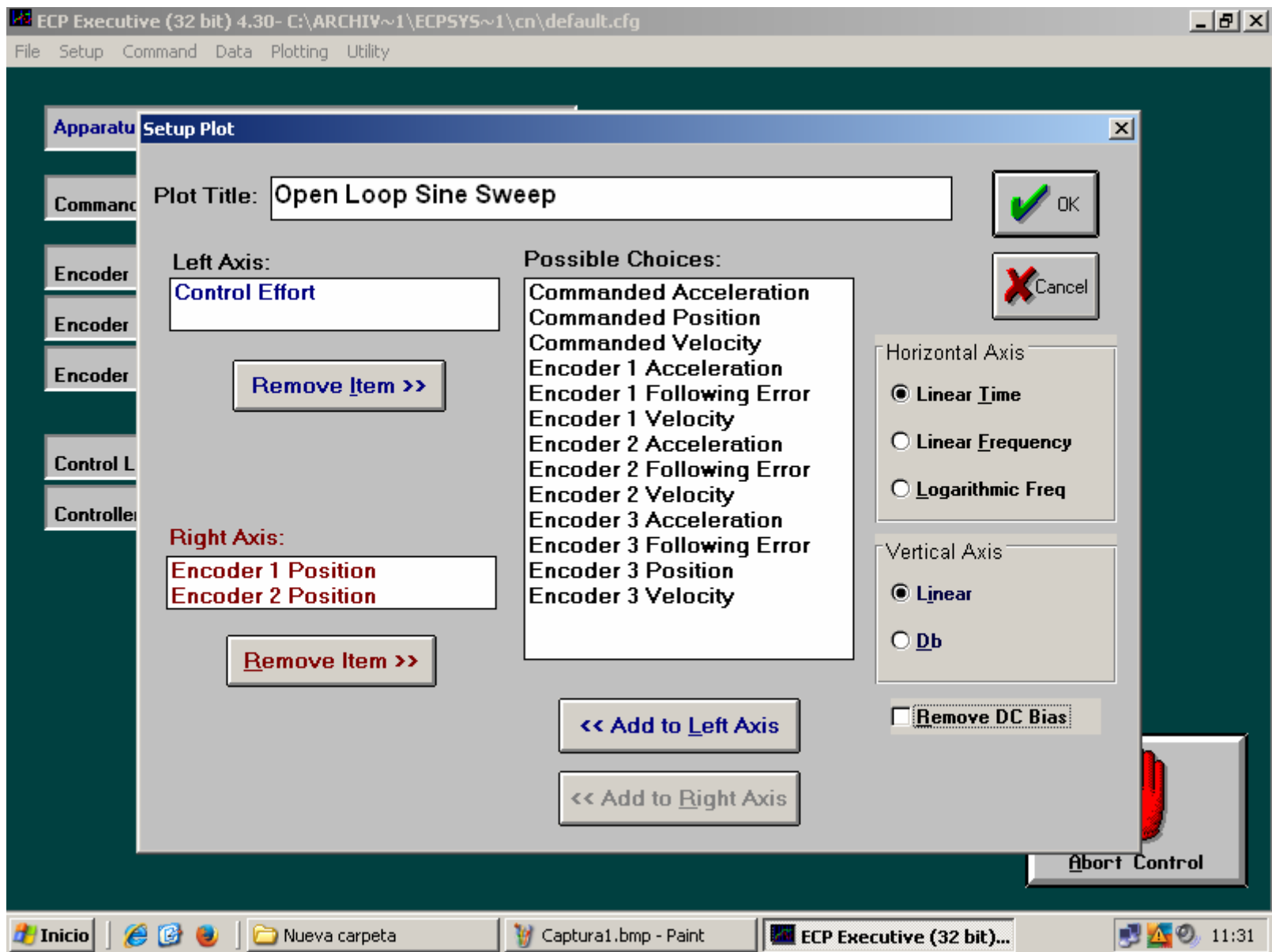
Interfase gráfica

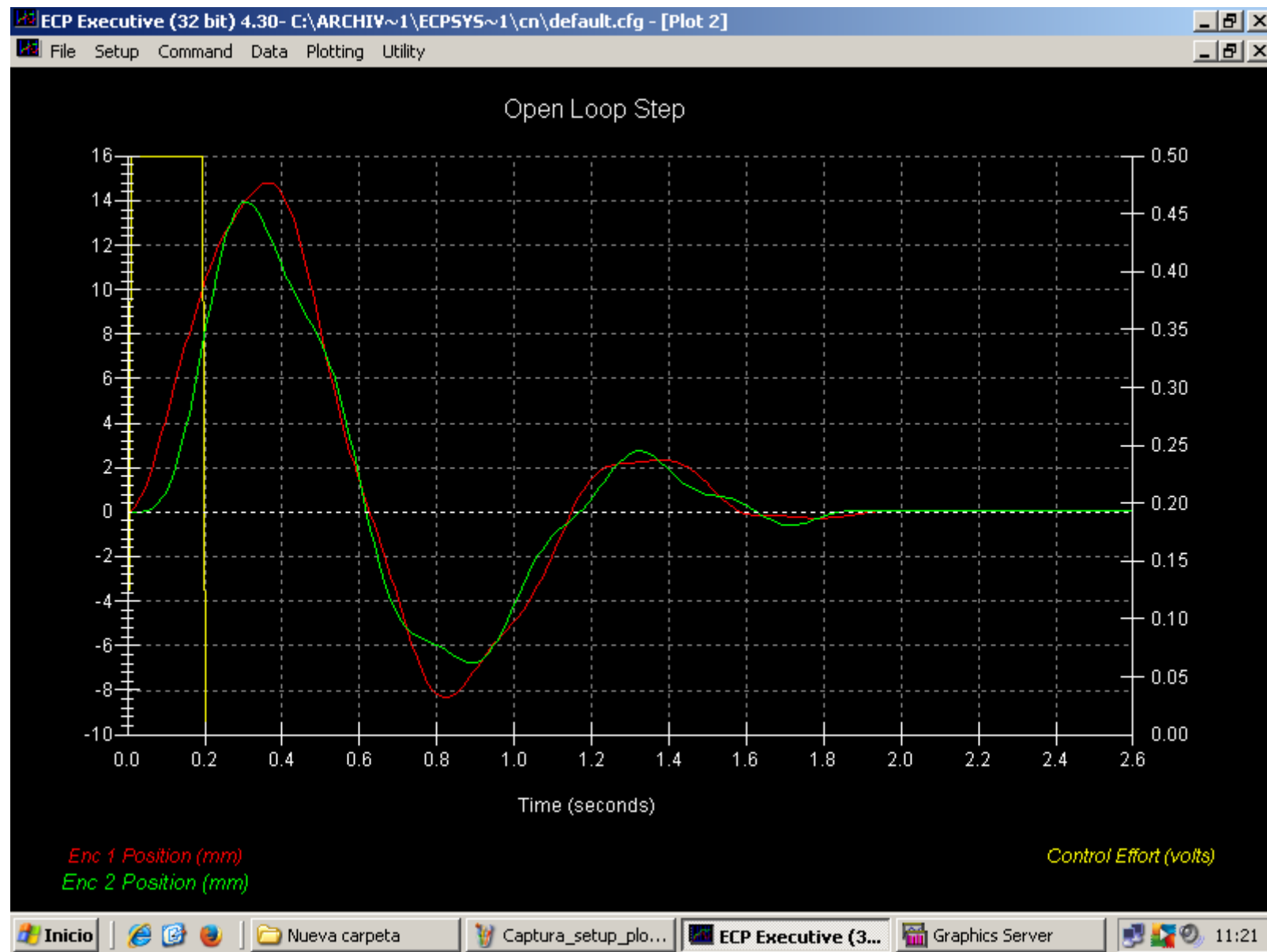




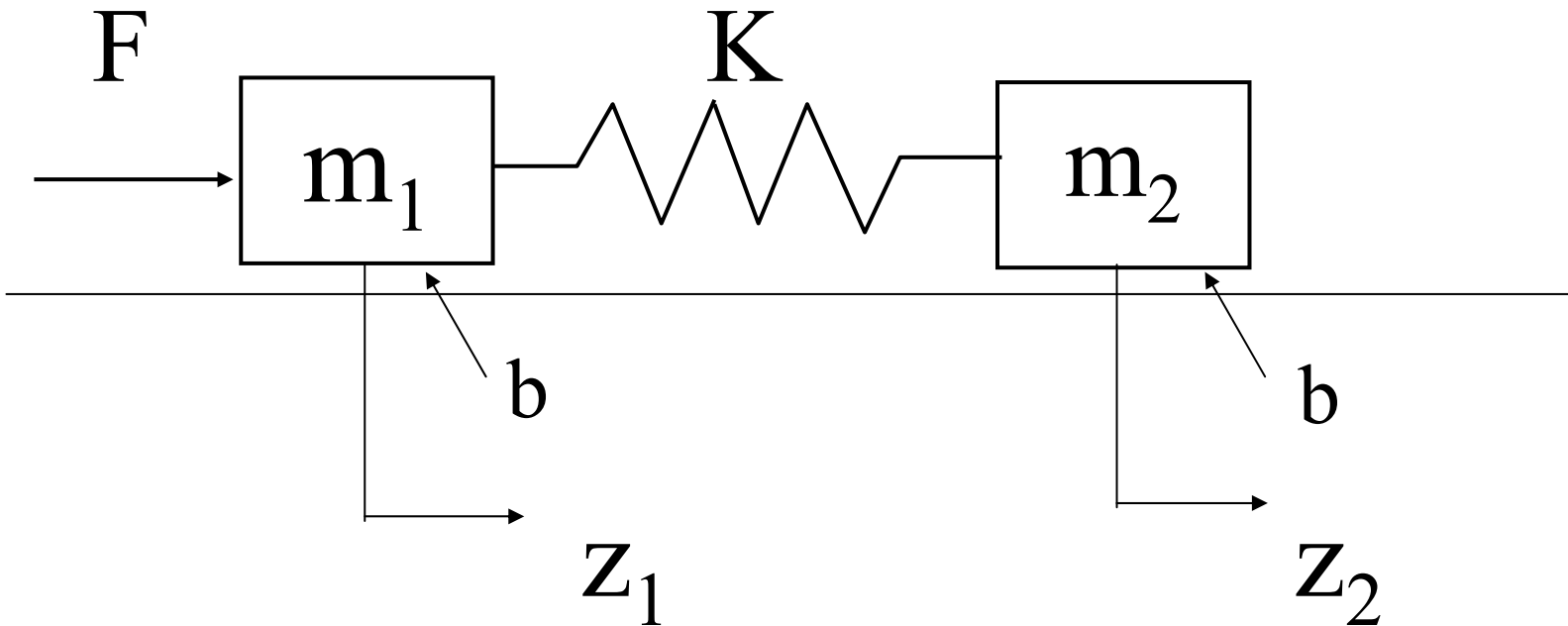








Se considerará la siguiente configuración:



Hipótesis de modelado:

- Resorte lineal
- Rozamiento de tipo viscoso lineal

Planteando la 2da. Ley de Newton en cada masa, resulta:

$$\begin{cases} m_1 z_1'' = F - K(z_1 - z_2) - bz_1' \\ m_2 z_2'' = K(z_1 - z_2) - bz_2' \end{cases}$$

Adoptando como variables de estado :

$$x_1 = z_1 \quad x_2 = z_1' \quad x_3 = z_2 \quad x_4 = z_2'$$

resulta

$$\begin{cases} x_1' = x_2 \\ x_2' = \frac{F}{m_1} + \frac{K}{m_1}(x_3 - x_1) - \frac{b}{m_1} x_2 \\ x_3' = x_4 \\ x_4' = -\frac{K}{m_2}(x_3 - x_1) - \frac{b}{m_2} x_4 \end{cases} \quad (1)$$

SyS-I

13

El ODE-file resulta en este caso

```
function dx = sistema(t,x)

    :
Descripcion de los parám. del sistema (constantes)
    :

dx = [ x(2);

        (F/m1)+(K/m1)*(x(3)-x(1))-(b/m1)*x(2);

        x(4);

        -(K/m2)*(x(3)-x(1))-(b/m2)*x(4) ];
```

Desde un script (m-file) invocamos a la rutina de integración numérica pasándole como parámetro de entrada la función anterior

Los valores de los parámetros físicos del sistema (provistos por el fabricante) son:

$$m_1 = m_2 = 2 \text{ Kg}$$

$$K = 273 \text{ N/m}$$

$$b = 8 \text{ Ns/m}$$

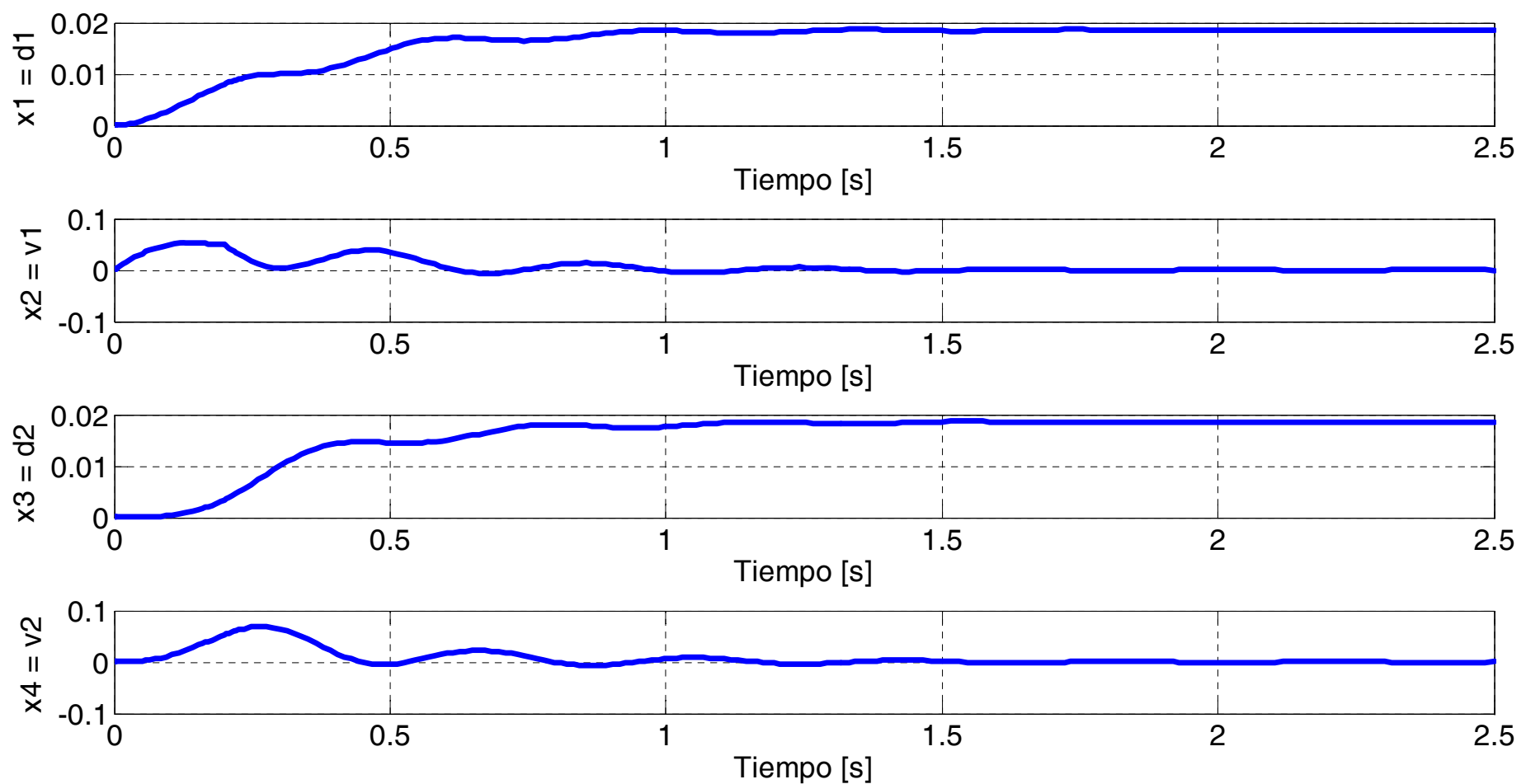
Analizaremos la respuesta del sistema a una entrada F del tipo pulso rectangular de amplitud 1.48 N y duración 0.2 s.

El ODE-file toma la forma:

```
function dx = sistema(t,x)
m1=2;
m2=2;
K=273;
b=8;
if t<0.2
    F=1.48;
else
    F=0;
end
dx = [x(2);
       (F/m1)+(K/m1)*(x(3)-x(1))-(b/m1)*x(2);
       x(4);
       -(K/m2)*(x(3)-x(1))-(b/m2)*x(4)];
```

Podemos realizar la simulación con el siguiente script

```
[t,x]=ode45('sistema',[0 2.5],[0;0;0;0]);
subplot(411)
plot(t,x(:,1)); xlabel('Tiempo [s]');
ylabel('x1 = d1'); grid;
subplot(412)
plot(t,x(:,2)); xlabel('Tiempo [s]');
ylabel('x2 = v1'); grid;
subplot(413)
plot(t,x(:,3)); xlabel('Tiempo [s]');
ylabel('x3 = d2'); grid;
subplot(414)
plot(t,x(:,4)); xlabel('Tiempo [s]');
ylabel('x4 = v2'); grid;
```



Las Ecuaciones de Estado (1) pueden escribirse en forma matricial como

$$\begin{aligned}\dot{x}_1 &= 0 x_1 + 1 x_2 + 0 x_3 + 0 x_4 + 0 u \\ \dot{x}_2 &= -\frac{K}{m_1} x_1 - \frac{b}{m_1} x_2 + \frac{K}{m_1} x_3 + 0 x_4 + \frac{1}{m_1} u \\ \dot{x}_3 &= 0 x_1 + 0 x_2 + 0 x_3 + 1 x_4 + 0 u \\ \dot{x}_4 &= \frac{K}{m_2} x_1 + 0 x_2 + -\frac{K}{m_2} x_3 - \frac{b}{m_2} x_4 + 0 u\end{aligned}$$

$$\begin{bmatrix} x'_1 \\ x'_2 \\ x'_3 \\ x'_4 \end{bmatrix} = \underbrace{\begin{bmatrix} 0 & 1 & 0 & 0 \\ -K/m_1 & -b/m_1 & K/m_1 & 0 \\ 0 & 0 & 0 & 1 \\ K/m_2 & 0 & -K/m_2 & -b/m_2 \end{bmatrix}}_A \cdot \begin{bmatrix} x_1 \\ x_2 \\ x_3 \\ x_4 \end{bmatrix} + \underbrace{\begin{bmatrix} 0 \\ 1/m_1 \\ 0 \\ 0 \end{bmatrix}}_B \cdot u$$

A **B**

$$X' = A \cdot X + B \cdot u$$

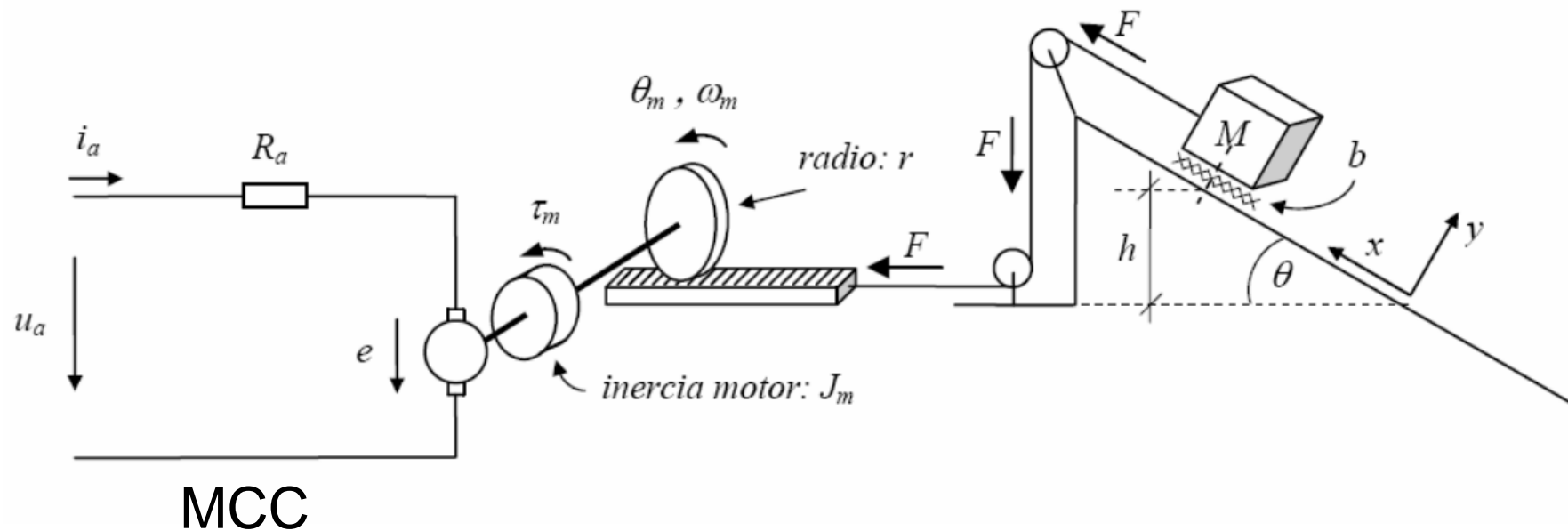
Tomando como salida la posición de la masa m_1 , la **Ecuación de Salida** resulta

$$y = x_1 = \underbrace{\begin{bmatrix} 1 & 0 & 0 & 0 \end{bmatrix}}_C X + \underbrace{0}_D u$$

C **D**

Problema 2 : Carrito Minero

El sistema físico se representa esquemáticamente en la figura siguiente.



a. Diagrama de Bloques

La dinámica del circuito de armadura del MCC viene dada por

$$u_a = R_a i_a + e = R_a i_a + K_m \omega_m \quad (1)$$

En el eje del motor, aplicando la 2da. Ley de Newton sobre la inercia J_m resulta:

$$J_m \omega'_m = \tau_m - \tau_c = K_m i_a - \tau_c \quad (2)$$

donde τ_c es el torque resistente que aparece en el eje del motor debido al carrito.

Para el sistema de transmisión biela-manivela asumiremos que se conserva la potencia, es decir que transmite la potencia sin pérdidas

$$\tau_c \omega_m = Fx' \quad (3)$$

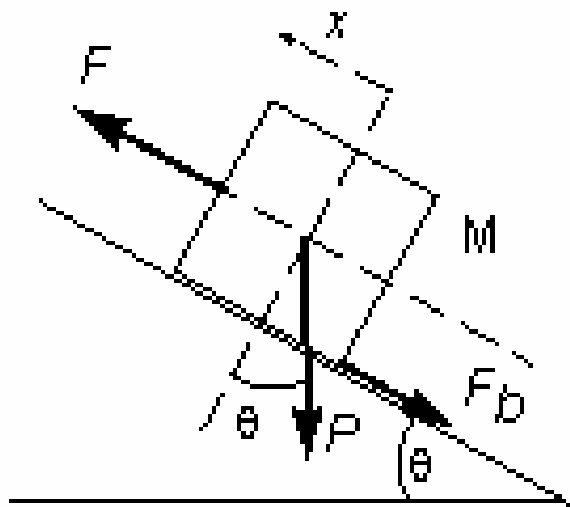
Además se verifica que:

$$\theta_m r = x \Rightarrow \omega_m r = x' \quad (4)$$

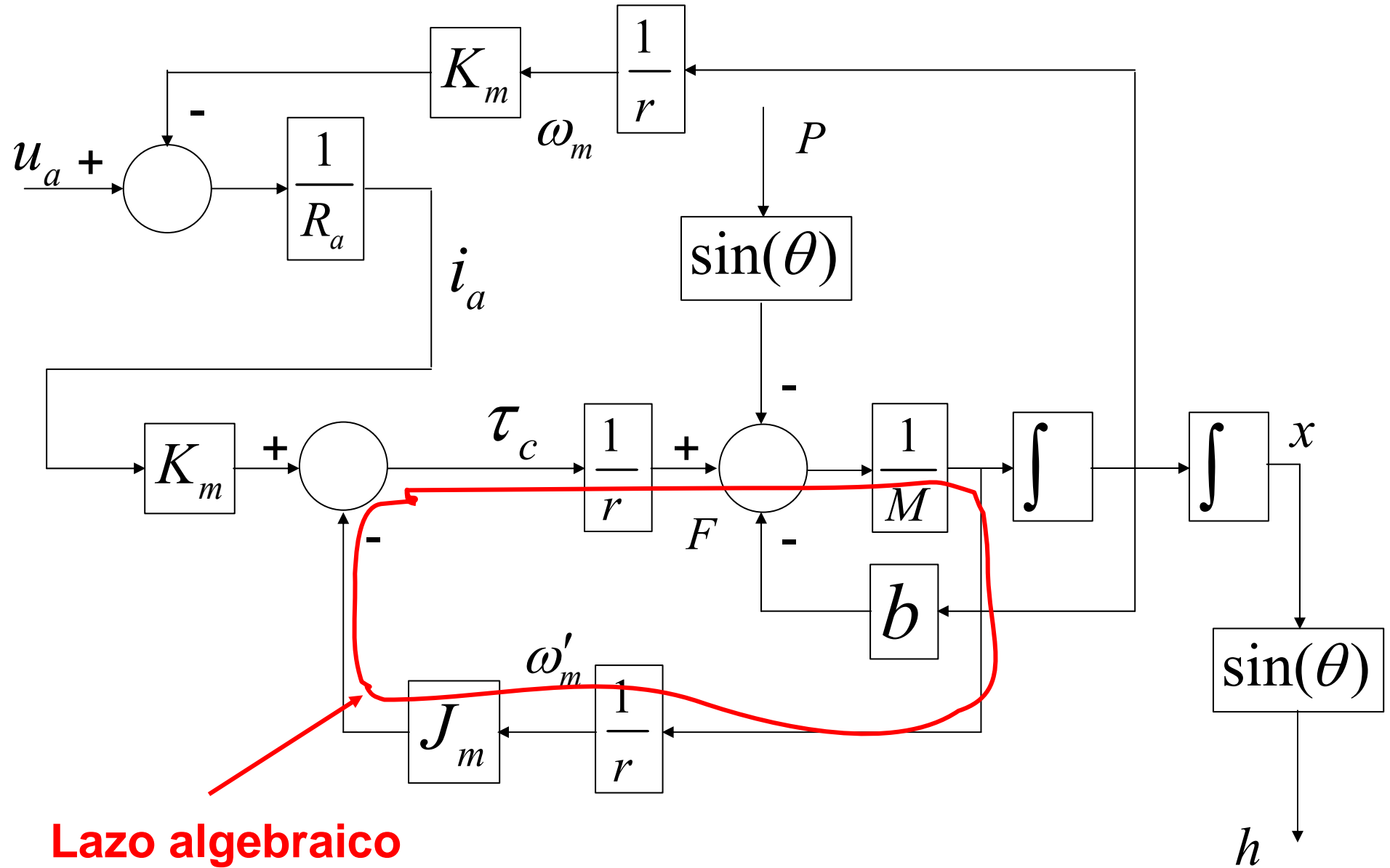
Resulta entonces

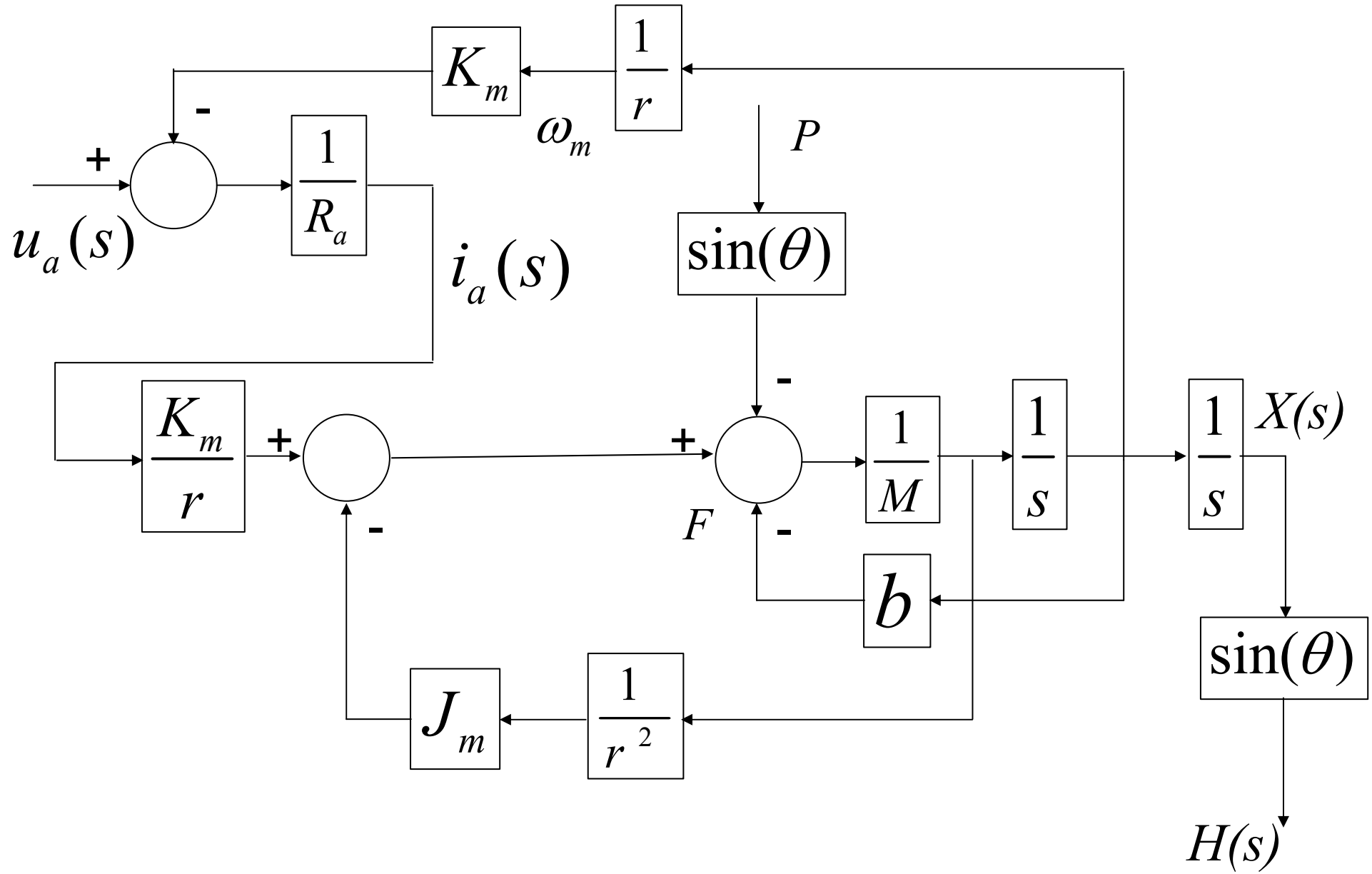
$$\tau_c = Fr \quad (5)$$

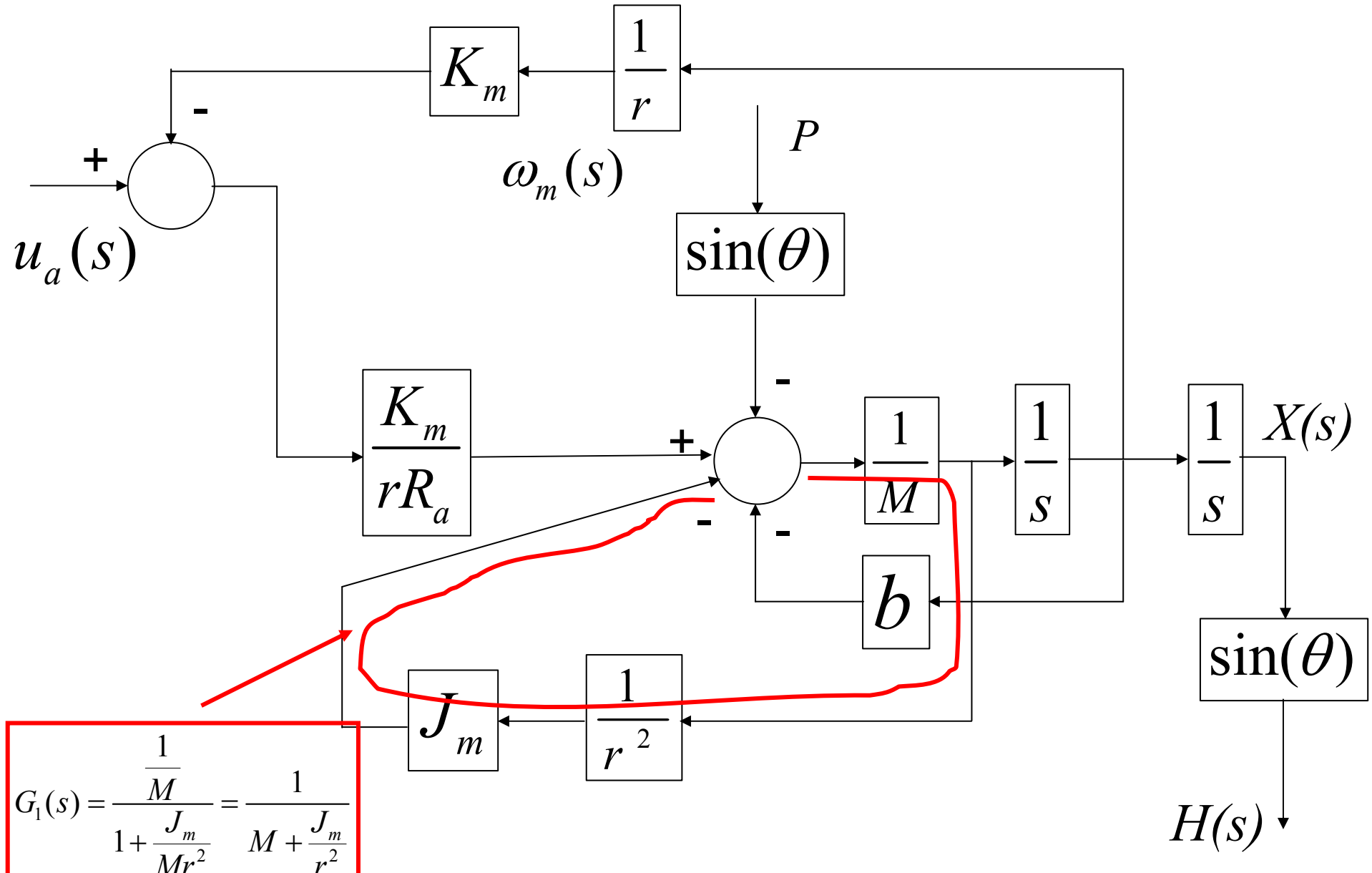
Considerando ahora el carrito



$$Mx'' = F - P \sin(\theta) - F_b = F - P \sin(\theta) - bx' \quad (6)$$

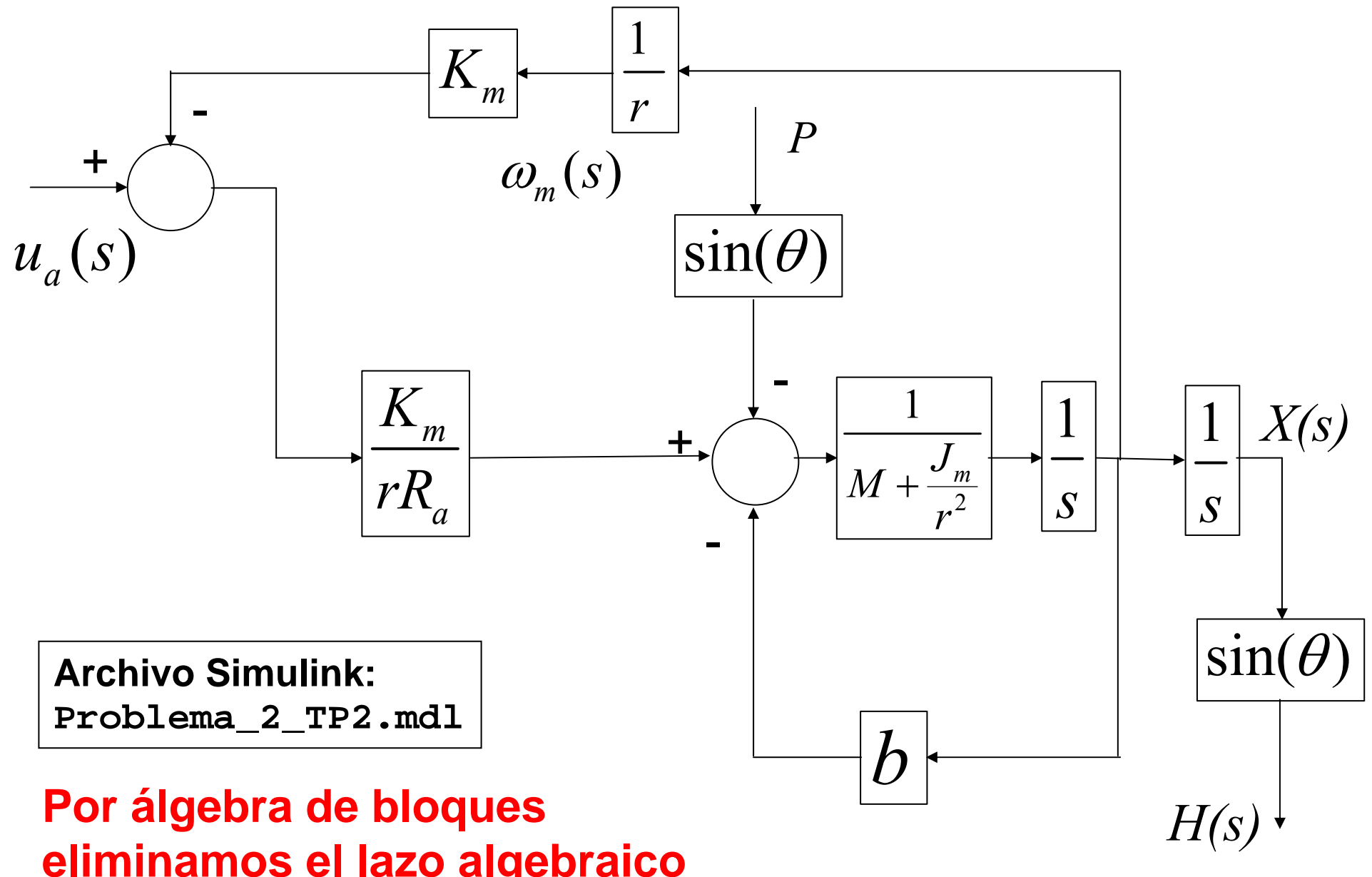






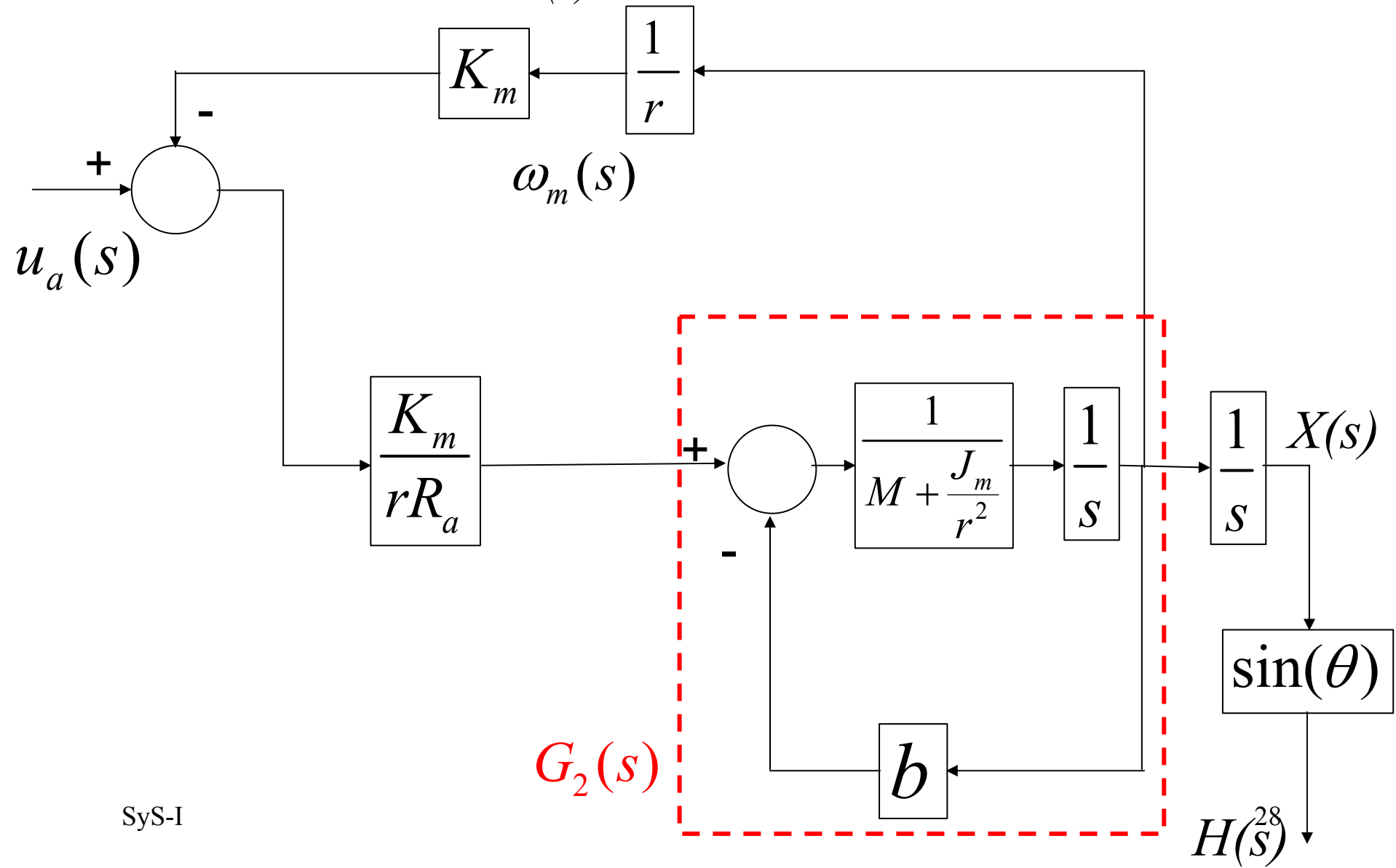
SyS-I

26

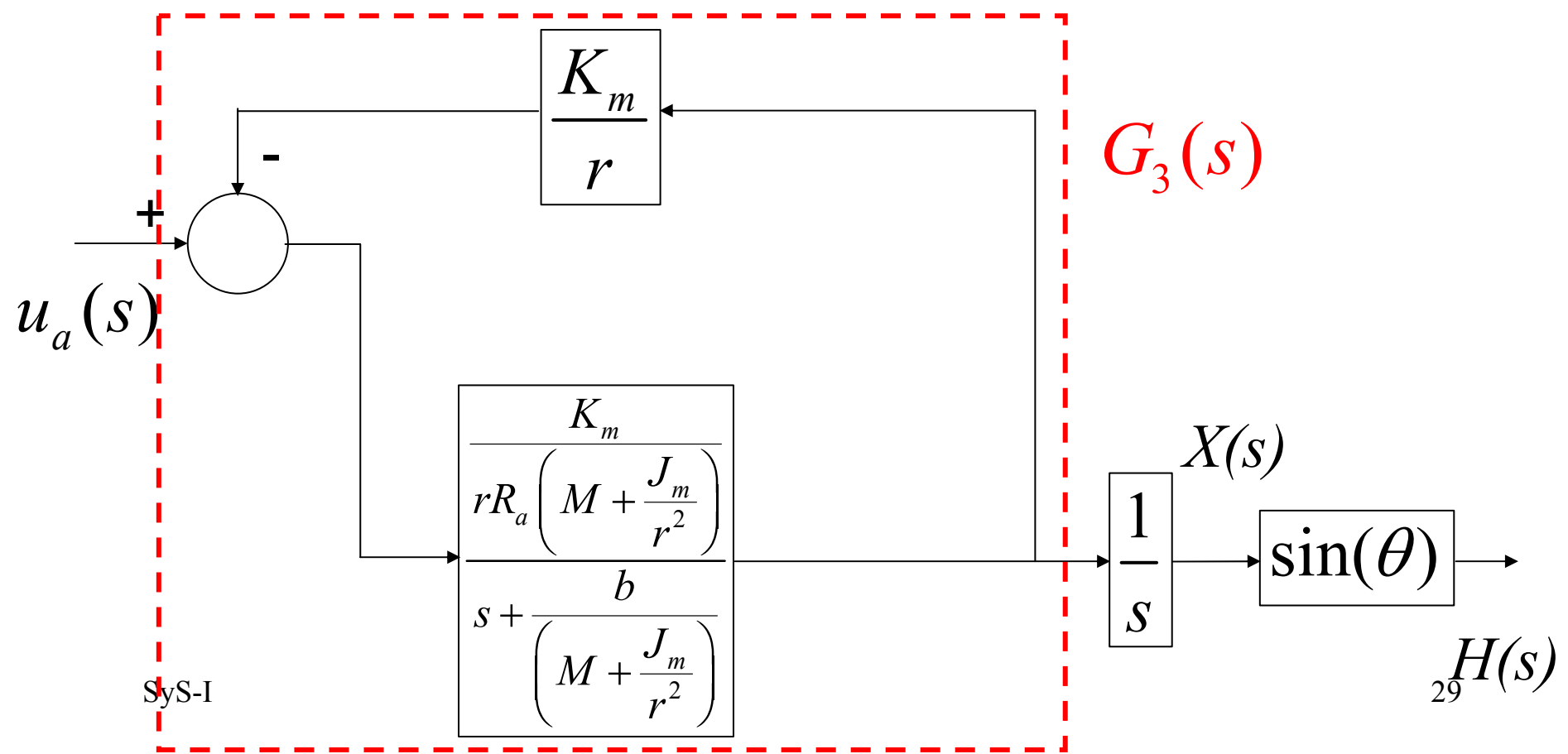


b. Función Transferencia entre $u_a(s)$ y $H(s)$

Pasivamos la entrada $P(s)$



$$G_2(s) = \frac{1}{1 + \frac{b}{s\left(M + \frac{J_m}{r^2}\right)}} = \frac{1}{s\left(M + \frac{J_m}{r^2}\right) + b} = \frac{1}{s + \frac{b}{\left(M + \frac{J_m}{r^2}\right)}}$$



29
 $H(s)$

$$G_3(s) = \frac{\frac{K_m}{rR_a \left(M + \frac{J_m}{r^2} \right)}}{s + \frac{b}{\left(M + \frac{J_m}{r^2} \right)}} = \frac{\frac{K_m}{rR_a \left(M + \frac{J_m}{r^2} \right)}}{s + \frac{b}{\left(M + \frac{J_m}{r^2} \right)} + \frac{K_m^2}{r^2 R_a \left(M + \frac{J_m}{r^2} \right)}} = \frac{\frac{K_m}{rR_a \left(M + \frac{J_m}{r^2} \right)}}{s + \frac{b + \frac{K_m^2}{r^2 R_a}}{\left(M + \frac{J_m}{r^2} \right)}}$$

$$G(s) = \frac{H(s)}{u_a(s)} = \frac{\frac{K_m \sin(\theta)}{rR_a \left(M + \frac{J_m}{r^2} \right)}}{s \left(s + \frac{b + \frac{K_m^2}{r^2 R_a}}{\left(M + \frac{J_m}{r^2} \right)} \right)}$$

c. Orden del sistema y BIBO estabilidad

De la función transferencia $G(s)$ podemos ver que el sistema es de segundo orden y que no es BIBO estable ya que tiene un polo en $s = 0$.

d. Diagrama de Bode

Consideremos los siguientes valores numéricos de los parámetros:

$$\theta = 30^\circ ; \quad K_m = 0.767 \text{ Nm/A}$$

$$R_a = 2.6 \Omega ; \quad r = 0.01\text{m}$$

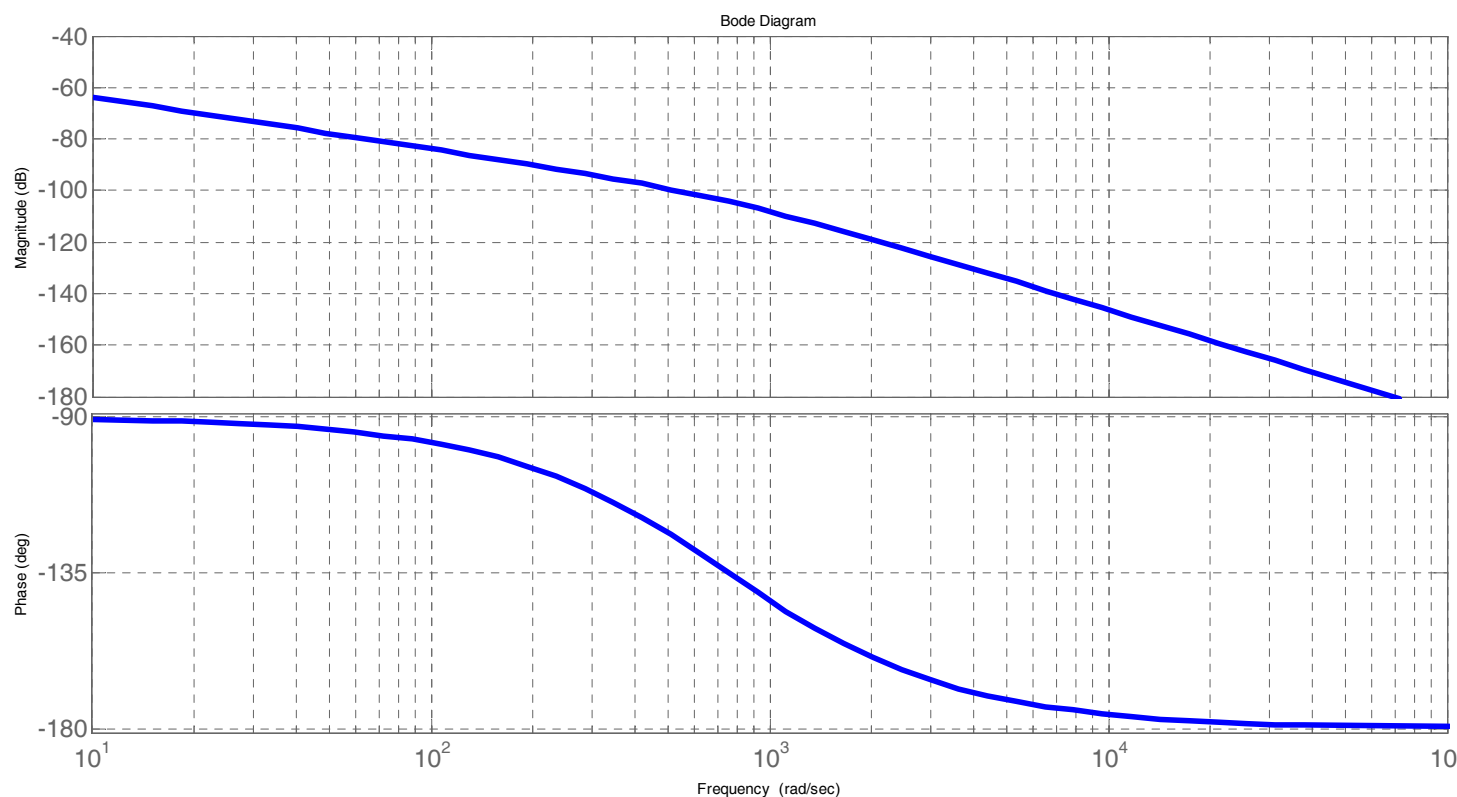
$$J_m = 3.87 \times 10^{-7} \text{ Kg m}^2$$

$$M = 3 \text{ Kg} ; \quad b = 8 \text{ N/m}$$

$$h_{max} = 10 \text{ m}$$

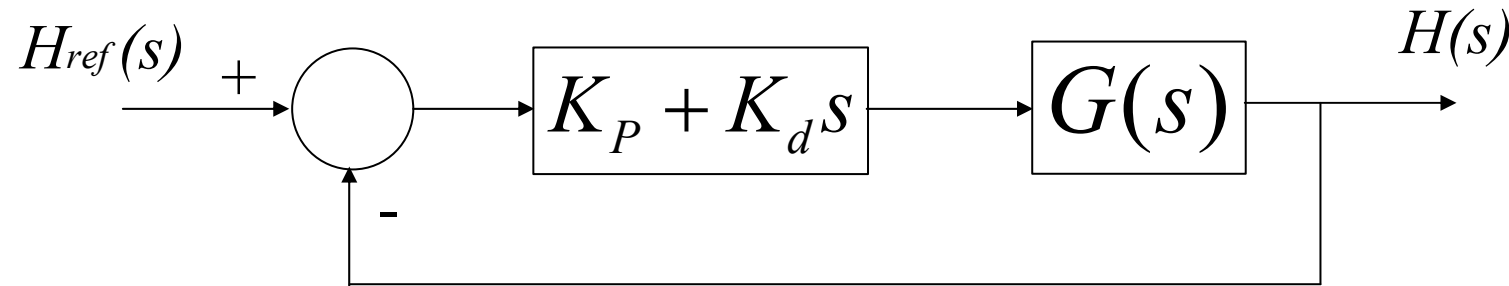
La función transferencia resulta:

$$G(s) = \frac{4.91}{s(s + 755.9)}$$



e. Control PD

Archivo Simulink:
Problema_2_TP2_LC.mdl



La función transferencia en lazo cerrado resulta

$$\begin{aligned}G_{LC}(s) &= \frac{(K_P + K_D s)G(s)}{1 + (K_P + K_D s)G(s)} = \frac{(K_P + K_D s) \times 4.91}{s(s + 755.9) + (K_P + K_D s) \times 4.91} \\&= \frac{(K_P + K_D s) \times 4.91}{s^2 + (755.9 + 4.91 \times K_D)s + 4.91 \times K_P}\end{aligned}$$

Se quiere tener un factor de amortiguamiento $\xi = 2$ y una pulsación natural $\omega_n = 22.16 \text{ rad/s}$. Resulta entonces

$$755.9 + 4.91 \times K_D = 2 \times 2 \times 22.16$$

$$4.91 \times K_P = (22.16)^2$$

De donde

$$K_P = 100$$

$$K_D = -135.89$$